

討 9

依頼講演

上底吹転炉内のクロムの溶融還元反応に関する熱力学的考察

東京工業大学

○ 宋 英雄 永田 和宏 後藤 和弘

1 緒言

クロム鉱石の転炉による溶融還元は、現在酸素上吹き・アルゴン底吹きなどの溶製法の発展としてクロム鉱石、コークス、フランクスを直接製鋼炉内へ添加する溶融還元製鍊法が行われている。従来数多くの還元研究が反応速度論的に行われてきたが、熱力学的検討は少ない¹⁾。特に実際の上底吹転炉内の熱力学的検討は無い。Fig.1のようすに上底吹転炉によるクロム鉱石還元法では、なぜ酸化雰囲気中で還元反応が両立するのか、或はなぜCがO₂ガスで酸化され、一方Cr₂O₃はCで還元反応が同時に起こるのか不明である。しかし、同時反応の熱力学的条件はある臨界温度以上で満足することがわかつており、日本鉄鋼協会名誉会員である鶴寿昆²⁾によって種々の実験条件における臨界温度が計算されている。

そこで我々は研究の第一の目的として、上底吹転炉内の状況を推定し吹鍊時期と臨界温度の関係、鋼浴組成・スラグ組成と臨界温度の関係を明らかにすることにした。またコークスを入れることでAr底吹きが熱力学的にどんな効果があるのか、これら種々の操業条件と臨界温度との関係を求めた。更に第二の目的として、臨界温度の計算結果とこれまで「鉄と鋼」誌に発表のあったクロムの溶融還元に関する報告³⁾と比較検討することにした。

2 Cr₂O₃を含む溶融スラグの優先還元と臨界温度

クロム鉱石の溶融還元では主にCr₂O₃がスラグに溶解し、他のMgO、Al₂O₃などの還元はほとんど起こらないと考えられる。従って炉内の主要反応は2C + O₂ = 2CO (1)
 $\frac{1}{3}(Cr_2O_3) + 2[C] = \frac{1}{3}(Cr) + 2CO$ (2)である。(1)式の反応は酸化反応で、(2)式はCr₂O₃の還元反応である。2つの反応が共存するか否かは次のようないくつかによって判定できる。

2.1 Cが優先酸化する温度範囲の判定 Fig.2⁴⁾の下側2本の線で表されるように2つの反応が存在する。ここで $\frac{1}{3}Cr + O_2 = \frac{1}{3}Cr_2O_3$ $\Delta G_f^{\circ} = -178500 + 40.7T$ (3), $2C + O_2 = 2CO$ $\Delta G_f^{\circ} = -55600 - 40.1T$ (4)。(3)式と(4)式は温度依存性が異なるので、A点で交差する。この交差点では $\Delta G_f^{\circ} = \Delta G_f^{\circ}$ なので、 $-178500 + 40.7T = -55600 - 40.1T$ 即ち $T_A = 1520K$ と求まる。このA点はC、Crが平衡共存するところである。温度が1520K以下では $\Delta G_f^{\circ} < \Delta G_f^{\circ}$ でCrはCより酸化し易く逆に1520K以上ではCがCrより酸化し易い。そこで1520KをC、Cr酸化の臨界温度と言い、1520K以上ではCが酸化する。

2.2 Cr₂O₃が優先還元する温度範囲の判定 (4)式-(3)式で $\frac{1}{3}Cr_2O_3 + 2C = \frac{1}{3}Cr + 2CO$, $\Delta G_f^{\circ} = 122900 - 80.8T$ (5)を得る。Fig.2 上部の2本の線で表される。この ΔG_f° がゼロになる温度は $\Delta G_f^{\circ} = 122900 - 80.8T = 0$ 、即ち $T_B = 1520K$ と求まる。温度が1520K以上、つまり $\Delta G_f^{\circ} < 0$ の時(5)式の反応は右に進み、CでCr₂O₃を還元できる。1520K以下では(5)式の反応においてCでCr₂O₃を還元することはできない。1520KはCでCr₂O₃を還元する最低温度であり、この温度をCr₂O₃の還元臨界温度と言う。

2.1と2.2の結論を総合すると、1520K以上で ΔG_f° がマイナスに存在する(4)式と(5)式の反応は、共に右に進みCの酸化とCr₂O₃の還元が同時に起こることがわかる。以上の計算は標準状態での臨界温度である。以下では転炉内の[C]と[Cr]の活量を考慮に入れて臨界温度を推定した。

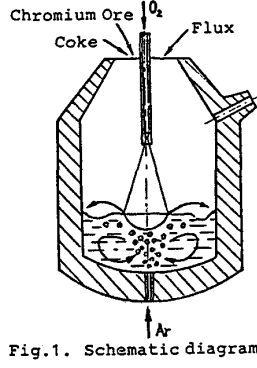


Fig.1. Schematic diagram of LD-OB

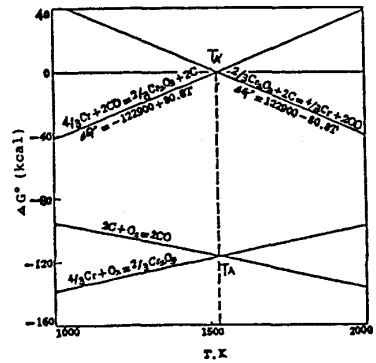


Fig.2. Reduction critical temperature of Cr₂O₃ at standard state

3 GとCの活量が1以下の場合のCr₂O₃還元臨界温度の熱力学的計算

実際の上底吹転炉ではCrとCの活量は1以下であることが多い。そこで次のような自由エネルギーの式から実際の臨界温度を計算した。 $\text{Cr}(\text{Cr}_2\text{O}_3) + 2[\text{C}] = \text{Cr}(\text{G}) + 2[\text{C}] \Delta G^\circ = 119300 - 75.95T, \Delta G = \Delta G^\circ + RT \ln \frac{\text{Cr}(\text{G}) \cdot \text{P}_{\text{CO}}^2}{\text{Cr}(\text{Cr}_2\text{O}_3) \cdot \text{A}_{\text{CO}_2}^2}$ (6) 式中では $\log f_{\text{Cr}} = e_{\text{Cr}}^G (\% \text{Cr}) + e_{\text{Cr}}^C (\% \text{C}) + e_{\text{Cr}}^{Ni} (\% \text{Ni})$, $\log f_{\text{C}} = e_{\text{C}}^C (\% \text{C}) + e_{\text{C}}^G (\% \text{G}) + e_{\text{C}}^{Ni} (\% \text{Ni})$ 、相互作用助係数 $e_{\text{Cr}}^G = 0.14$, $e_{\text{C}}^G = -0.024$, $e_{\text{Cr}}^C = 0.012$, $e_{\text{C}}^C = 0$, $e_{\text{Cr}}^{Ni} = -0.12$, $e_{\text{C}}^{Ni} = 0$, $e_{\text{Cr}}^F = 0$, $e_{\text{C}}^F = 0.042$ となる。 $A(\text{Cr}_2\text{O}_3) = 1$ 飽和, $P_{\text{CO}} = 1 \text{ atm}$, f_{Cr} : 溶鉄中のCr活量係数, f_{C} : 溶鉄中のC活量係数である。この(6)式によって炉内のCr₂O₃の還元臨界温度が計算できる。

3.1 コークスを入れない場合の還元臨界温度の計算 普通上底吹転炉の脱炭で、(%G)はFig.3のように変化する。即ちCr₂O₃の還元は鉄鉱中の[C]に依存するはずである。上底吹転炉でCr₂O₃を[C]で還元する場合の脱炭曲線から $\frac{d[G]}{dt}$ の曲線を推定される。鉄鉱中の総ての[C]がCr₂O₃の形で還元するとすれば、Cr₂O₃の還元臨界温度は時間と共にどう変わるか。(5)式と(6)式の計算によるクロム還元量と $\frac{d[G]}{dt}$ の曲線、及び還元臨界温度と操業温度の関係を表1、表2、Fig.3に示す。表2とFig.3からわかるように、[C]含量が減少し[G]含量が増加すると共に還元臨界温度が上昇する。上昇して操業温度を越すと還元反応は止まる。止まるだけではなく逆に[G]の再酸化反応が起こる。

以上の計算では鉄鉱中の[C]が全部Cr₂O₃の還元に使われると仮定したが実際には主に(6)との酸化反応が起こる。従って鉄鉱中の[C]に依存する還元の比率から[G]含量の大きい溶湯を作ることとは困難で、ステンレス鋼やフェロクロムは作ることができない。

3.2 炭材内装による還元臨界温度の低下の理論計算 酸素を吹き同時にコークスを入れる場合、吹鍊中では[C]は飽和である。例えば住友金属工業10トン上底吹転炉の変化過程Fig.4において吹鍊中の[C]は飽和だが、還元臨界温度はどう変わるか。(6)式の計算によって表3の如く求められる。表3の還元臨界温度をFig.4中に示す。Fig.4中の温度曲線によると還元臨界温度は非常に低い。即ち全期間で実際の操業温度より相当に低いことになる。従って還元反応が起り易くなる。同時に[G]の再酸化を防止することができる。下底吹きをすると、更に還元臨界温度は下がる。

以上のよう3.1炭材を入れない場合と3.2炭材内装の場合とで還元臨界温度は全然違う。溶鉄とクロム鉱石からステンレス鋼を得ようとする場合、ノタル中の[G]濃度が12%程度まで溶鉄中のカーボンの形による還元では還元臨界温度が高くて困難であった。コークスを多用し、スラグ中で溶融スラグとコークスを反応させる方法では還元臨界温度が低いので[G]=20%以上、[C]=6~7%の高クロム粗溶湯、フェロクロムを得ることが容易になる。

以上の計算により、クロム鉱石還元の重要な因子としては温度が一番である。還元反応をうまく進めるためには操業温度を必ず還元臨界温度より高くしなければならない。そして操業温度が高ければ高いほど還元反応は速く還元効率が高い。例えは川上正博らの実験の結果でFig.5に示すように操業温度が上がると共に還元効率も高くなる。しかし低温操業をするには炭材内装の方法に下底吹きの方法を併用しなければならない。

4 A. N₂底吹きの場合のCr₂O₃の還元臨界温度

[C] %	4.5	3.5	2.5	1.5	0.5	0.2	0.05
[C] %	0	1	2	3	4	4.3	4.45
[Cr] %	0	2.9	5.78	8.55	11.56	12.42	12.86

[C] % = 4.5 (after pretreatment)

Table.2. Change of Reduction Critical Temp. (R.C.T.) and Operation Temp. (O.T.)

[C] %	4.5	3.5	2.5	1.5	0.5	0.2	0.05
[Cr] %	0	2.9	5.78	8.55	11.56	12.42	12.86
R.C.T. (°C)	1311 1038	1451 1178	1497 1224	1612 1339	1803 1530	1939 1666	2148 1875
O.T. - R.C.T. (°C)	1650- 1038=+612	1650- 1178=+472	1650- 1224=+426	1650- 1339=+311	1650- 1530=+120	1650- 1666=-16	1650- 1875=-225

at 1650° (Operation Temp.)

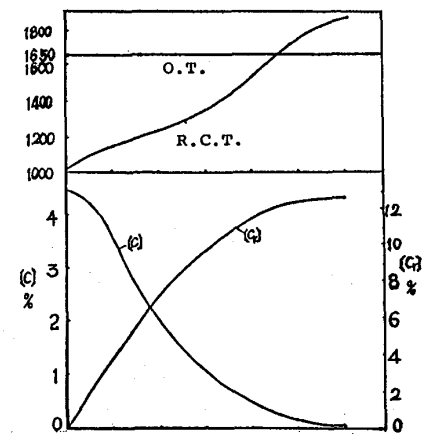


Fig.3. Changes of [Cr], [%Cr] and temperature during reduction by calculation (without coke)

酸素上吹き-Ar、N₂底吹き法によるクロム鉱石溶融還元実験⁴⁾¹⁰⁾の結果が報告されている。しかしながらAr、N₂底吹きの熱力学的效果の考察は少なくて、大部分の報告は移動速度論から検討されている。Ar、N₂底吹きをすると炉内のCO圧力は1atmより低下する。このような状態で還元臨界温度はどう変わるのか。(6)式の計算による結果を表⁴⁾に示す。ここで、Arを吹いたためにCO分圧が大きく降下すると、還元臨界温度も大きく降下する。還元臨界温度が下がると、操業温度も下げるこができる。例えば表4中の9番と10番の数値を比較すると、CO分圧を1atmから0.2まで降下すると還元臨界温度は1945°Cから1690°Cまで降下できることがわかる。還元臨界温度が下がるので耐火物の負担は軽減し、還元後の到達率を高くする。片山と徳田の研究をFig.6¹⁰⁾に示す。還元率はCO分圧の降下につれて上昇する。

5 還元サートの検討

コークスを入れない場合の還元反応は次のような式で進む。 $\frac{1}{3}(Cr_2O_3) + 2(C) = \frac{1}{3}(Cr) + 2CO, \Delta G^\circ = 223400 - 147.52T$ 。この還元サートはノタルースラグの界面で起こるので Cr_2O_3 還元反応の支配因子は銑鉄中のカーボンのみである。炭材内装による還元反応の場合は次のような式で進むと考えられる。 $\frac{1}{3}(Cr_2O_3) + 2(C) = \frac{1}{3}(Cr) + 2CO, \Delta G^\circ = 223400 - 147.52T, \frac{1}{3}(Cr_2O_3) + 2C = \frac{1}{3}(Cr) + 2CO, \Delta G^\circ = 122900 - 80.8T$ 。この還元サートはノタルースラグの界面とスラグ中のコークス表面で起こる。著者らは表5の3つの実験を行った。実験装置はFig.7の通りである。同じ実験条件で還元反応サートの反応速度をFig.8に示した。コークスを入れる第3番の実験反応が速く進むだけでなく(C)の還元率も高い。實際にはコークスを入れないステンレス鋼の製錬としては、(C)が0.4%ぐらい以下に存在場合 Cr_2O_3 還元反応の律速段階は銑鉄中の(C)の拡散律速と考えられ、還元速度は降下する。古くコークスがあれば反応サートはノタルースラグの界面からスラグ中のコークス表面に移動することができる。従って還元反応は速く進むと考えられる。

6 (Cr)の再酸化

(Cr)の再酸化は直接酸化と間接酸化に分けられる。(Cr)の直接酸化は次のような式で進む。 $\frac{1}{3}(Cr) + 2(O) = \frac{1}{3}(Cr_2O_3), \Delta G^\circ = -130500 + 57.21T$ (7)。(Cr)の間接酸化反応は次のような式で進む。 $\frac{1}{3}(Cr) + 2(Fe_2O) = \frac{1}{3}(Cr_2O_3) + 2(Fe), \Delta G^\circ = -72690 + 32.19T$ (8)。上記の検討より明らかのように、操業温度が還元臨界温度より低くなると(Cr)の再酸化反応が起こる。(7)式の再酸化反応平衡恒数は $K = \frac{a_{Cr}^{1/3}}{a_{Cr_2O_3}^{1/3} \cdot a_{O_2}^{1/2}}$ 整理すると $a_{Cr}^{1/3} = \frac{a_{Cr_2O_3}^{1/3}}{K \cdot a_{O_2}^{1/2}}$ (9)。ここで a_{Cr} : 溶湯中の酸素の活量、 $a_{Cr_2O_3}$: スラグ中の Cr_2O_3 の活量。(9)式からわかるように溶湯中の a_{Cr} は溶湯中の酸素の活量と関係がある。(10)の活量を低下すると溶湯中の(Cr)の再酸化を防止できる。コークスを多用すればFig.4のように溶湯中の(Cr)はずっと飽和を保持し、また(Cr)-O₂平衡状態図によると溶湯中の(Cr)が高いと(O)は低下する。これによって(Cr)は再酸化しにくくなる。實際には上から溶湯へ多量に

Table 3. Change of Reduction Critical Temp. (R.C.T.) and Operation Temp. (O.T.)

[C] %	4.5	5.5	6.1	6.6	6.7
[Cr] %	0	6	13.5	16	18.5
R.C.T. (°C)	1311 1038	1345 1072	1378 1105	1373 1100	1384 1111
O.T. - R.C.T. (°C)	1650- +612	1620- +548	1610- +505	1640- +540	1720- +609

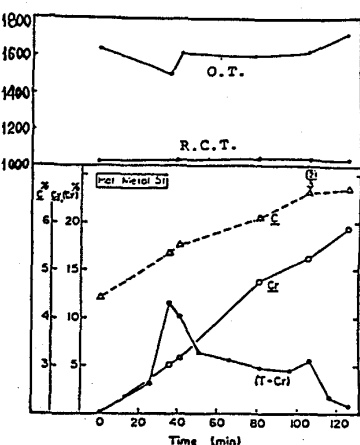


Fig. 4. Change of [%C], [%Cr] and Temp. during reduction (with coke)

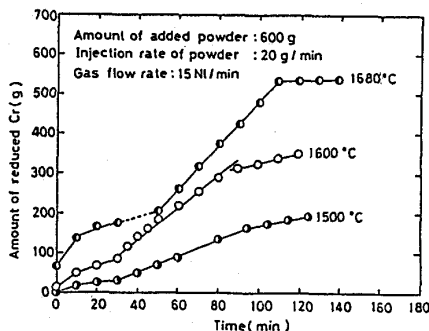


Fig. 5 Change in the amount of reduced chromium with time.

Table 4. Reduction critical temperature of Cr_2O_3 at various pressures of CO

Composition of metal melt	P _{CO}			ΔG° (kcal)	R.C.T. °C	Remark $O_2:Ar:CO$
	Cr	Ni	C	atm		
1	12	9	0.35	1	-111200+61.04T	1555
2	12	9	0.1	1	-111200+55.56T	1727
3	12	9	0.05	1	-111200+52.70T	1835
4	10	9	0.05	1	-111200+53.60T	1800
5	12	9	0.35	1	-111200+58.57T	1627
6	12	9	0.1	1	-111200+53.09T	1820
7	12	9	0.05	1	-111200+50.19T	1945
8	12	9	0.35	2/3	-111200+60.16T	1575
9	12	9	0.05	2/3	-111200+52.94T	1830
10	12	9	0.05	1/3	-111200+56.61T	1600
11	12	9	0.05	1/10	-111200+59.34T	1600
12	12	9	0.02	2/20	-111200+58.39T	1630
13	12	9	1	1	-111200+64.11T	1460
14	12	9	4.5	1	-111200+77.4T	1365

吹く酸素の大部分がステグ中のコークスを燃焼させてタルには極力酸素を当たれないことが一番有効と考えられる。しかしながらステンレス鋼の精錬では低炭素領域の脱炭速度が極めて低いので、送酸素速度を文く選択して(C)の再酸化を防止しなければならない。

結言

上底吹転炉による、 Cr_2O_3 を含むステグの還元に関する熱力学的計算の結果から以下の結論を得た。

①クロム鉱石還元を促進させるには温度を高くすることである。操業温度が還元臨界温度を越さなければ還元反応は進まない。②銑鉄とクロム鉱石からステンレス鋼を得ようとする場合、銑鉄中の[C]による還元の半減、(G)は12%程度が限界である。③銑鉄中の[C]による還元率はタルースラグの界面であるが、コークスを入れると還元率はタルースラグの界面の他にステグ中のコークスの表面で起こる。④銑鉄とクロム鉱石から高(G)のステンレス鋼や高クロムを得ようとする場合にはコークスを多用しなければならない。そうするとクロム鉱石の加熱溶解に有利なだけではなく還元臨界温度を降下することができる。従って操業温度を降下することが可能になる。⑤クロム鉱石還元法において、Ar底吹きの場合の熱力学計算をしてみると、還元臨界温度が降低する。低炭素領域のステンレス鋼の製錬に対して、(G)の再酸化を防止できる。

以上の結論が得られた事実は熱力学的理論の展開によるものである。しかし今これらの結果は従来の多くの速度論的研究の結果と非常に良く一致している。これは熱力学的考察的重要性を暗示している。従って

将来は炉内の温度分布や成分の活量の分布を精密に測定し、上記の文うな熱力学的考察が更に詳細に及ぶことが期待される。

文献

①片山 博：鉄と鋼，63(1977) p.207

②片山 博、田中章彦：鉄と鋼，60(1974) p.1289

③魏 寿昆編著「冶金過程熱力学」第1.3章 1980年

④増田城一、多賀雅之、中島英雄、家田幸治：鉄と鋼，72(1986) p.1301

⑤福岡博幸、石川英毅、片山裕之、柴原正年、藤田正樹：鉄と鋼 71 (1985) s 922

⑥魏 寿昆編著「冶金過程熱力学」第11章 1980年

⑦魏 寿昆編著「冶金過程熱力学」第37～40章 1980年

⑧九川雄渉ら：鉄と鋼，71(1985) s 926

⑨川上正博ら：日本学会報興会19委10702反応604 72(1986)

⑩九川雄渉ら：鉄と鋼，72(1986) s 112

⑪魏 寿昆編著「冶金過程熱力学」第76章 1980年

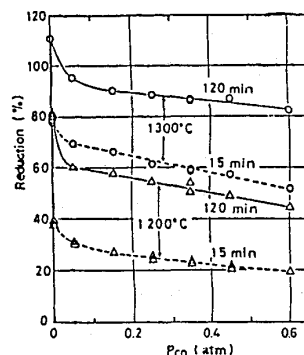


Fig. 6. Effect of P_{CO} of flowing $\text{N}_2\text{-CO}$ atmosphere on the reduction rate of pellet N.

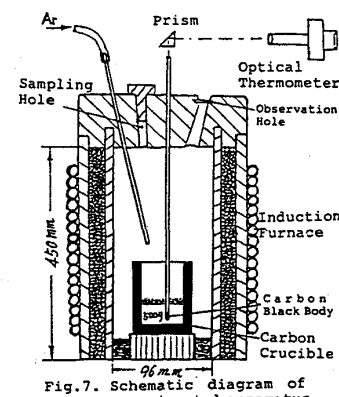


Fig. 7. Schematic diagram of experimental apparatus

Table 5. Experimental conditions

No.	Weight	Composition	Addition	Temperature	Ar atmosphere	Reaction Zone	Vital factor
1	500g	[Fe], 5%[C]	25g Cr_2O_3 , 6g cokes	1650°C	1 atm	surface of coke in slag	[C] in molten iron
2	500g	pure iron	25g Cr_2O_3 , 6g cokes	1650°C	1 atm	slag-metal interface	coke in slag
3	500g	[Fe], 5%[C]	25g Cr_2O_3 , 6g cokes	1650°C	1 atm	slag-metal interface, surface of coke in coke	[C] in molten iron, coke in slag

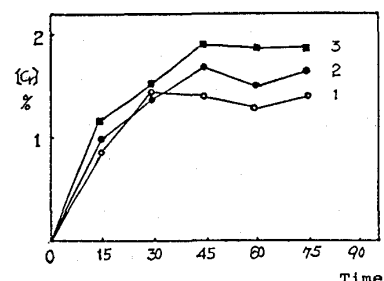


Fig. 8. Reduction rate